# せん断スパン比の異なる軽量コンクリートを用いたせん断破壊型 RC 梁の耐衝撃性

ドーピー建設工業(株) 正 員 〇 竹本 伸一 室蘭工業大学 フェロー 岸 徳光 (独) 北海道開発土木研究所 正 員 今野 久志 室蘭工業大学 フェロー 松岡 健一

#### 1. はじめに

本研究では、軽量コンクリートを用いたせん断補強鉄筋を有しないせん断破壊型RC梁の衝撃耐荷性状を検討するために、同一断面形状を有しせん断スパン比の異なる軽量コンクリートRC梁に関する重錘落下実験を実施した.

#### 2. 実験概要

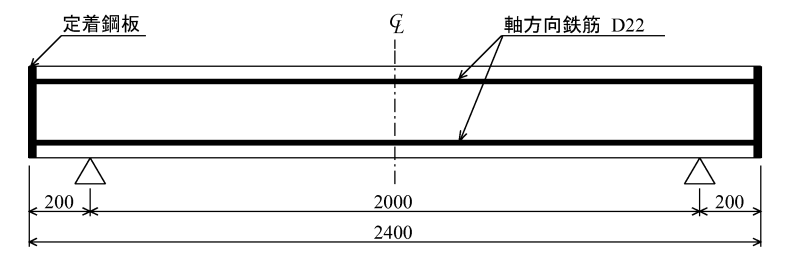
図ー1には、軽量コンクリート(Light-Weight-Concrete)を用いた(以後、LW 梁)の形状寸法および配筋状況を示している。試験体は、断面寸法が  $200 \times 300$  mm のせん断補強筋を有しない複鉄筋矩形 RC 梁である。純スパン長は 1.5、2.0, 2.5, 3.0 m とし、せん断スパン比を 4 種類に変化させた。  $\mathbf{表}-\mathbf{1}$  には、本研究に用いた各試験体一覧およびそれらの静的設計値を示している。表中の計算静的せん断耐力  $V_{usc}$  および計算静的曲げ耐力  $P_{usc}$  は、土木学会コンクリート標準示力書に基づき算定している。なお、 $V_{usc}$  値は示力書に基づき計算値の 70 % に低減して評価している。表より、いずれの梁もせん断余裕度  $\alpha$  ( $=V_{usc}/P_{usc}$ )が、 $\alpha$  < 1.0 であることより、静的載荷時にはせん断破壊に至ることが予想される。なお、LW3 梁の実測静的せん断耐力は計算のそれの 1.8 倍程度大きい。これはせん断スパン比が小さいことにより、ディープビーム的な挙動を示していることによるものと考えられる。  $\mathbf{表}-\mathbf{2}$  および  $\mathbf{表}-\mathbf{3}$  には、実験時のコンクリートと鉄筋の力学的特性を示している。実験は、リバウンド防止用治具付の支点治具上に設置した RC 梁のスパン中央部に所定の高さから一度だけ重錘を自由落下させる単一載荷により実施している。重錘質量は 300 kg で載荷点恋値をが 150 mm の円柱状鋼製重錘であり、測定項目は、重錘衝撃力 P、合支点反力 R(以後、支点反力)および載荷点変位  $\delta$ (以後、変位)波形である。

### 3. 実験結果および考察

## 3.1 各種応答波形

図-2には、せん断スパ ン比の違いによる耐衝撃性 への影響を検証するために、 LW4 梁と LW6 梁の重錘衝 撃力Pと支点反力Rおよび 変位  $\delta$  に関する応答波形を 衝突速度V毎に示している. 図より, 重錘衝撃力波形 P に関しては,第1波の振幅 および継続時間は両者でほ ぼ同一であるが,第2波目 の振幅の大きさや立ち上が り時間に差異が見られるこ とが分かる. せん断スパン 比およびせん断余裕度の小 さいLW4 梁の場合には振幅 が大きく, 立ち上がりも時

間も早い. 支点反力波形 R



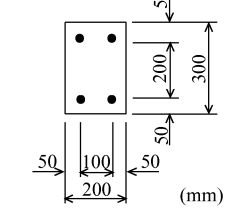


図-1 試験体概要図 (LW4 梁)

表-1 試験体の一覧

試験体名	主鉄	純	せん断	計算静的	計算静的	せん断	実測静的	実せん断	衝突速度 <i>V</i> (m/s)	
	筋比	スパン	スパン比	せん断耐力	曲げ耐力	余裕度	せん断耐力	余裕度		
	$P_t$	長 (m)	a / d	$V_{usc}$ (kN)	$P_{usc}$ (kN)	α	$P_{us}$ (kN)	$\alpha$ '		
LW3	0.015	1.5	3.0	80.7	175.1	0.46	142.7	0.82	3, 3.5, 3.75, 4, 4.25	
LW4		2.0	4.0		131.3	0.61	101.7	0.75		
LW5		2.5	5.0		105.0	0.77	90.5	0.86	3, 3.3, 3.73, 4, 4.23	
LW6		3.0	6.0		87.6	0.92	94.2	1.07		

表-2 コンクリートの力学的特性

表-3 鉄筋の力学的特性

コンク	と 手	圧縮強度	引張強度	弾性係数	ポアソン比
リート	<b>7</b> 0 ±2	$f_c$ ' (MPa)	$f_t$ (MPa)	$E_c$ (GPa)	$V_C$
軽量	1.86	41.8	2.53	21.1	0.21

鉄筋	材質	降伏強度	弾性係数	ポアソン比	
名科		$\sigma_y$ (MPa)	$E_s$ (GPa)	$\nu_s$	
D22	SD345	367	206	0.3	

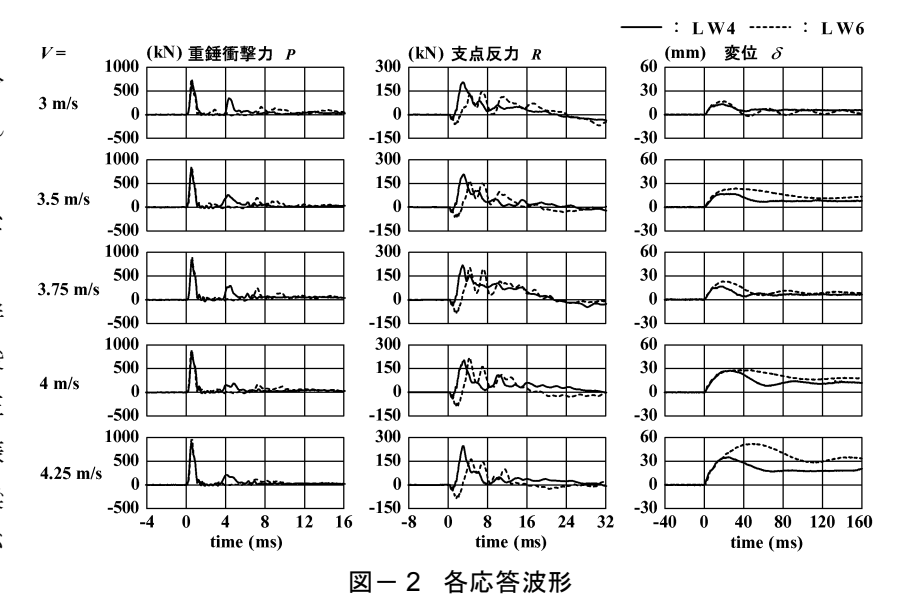
キーワード:軽量コンクリート, RC梁, せん断スパン比, 衝撃耐力

連絡先:〒060-0001 北海道札幌市中央区北1条西6丁目 ドーピー建設工業㈱ TEL 011-221-1571 FAX 011-222-5527

は,重錘衝撃力波形 P と異なり継続時間が 25 ms 程度の三角形状の波形成分と周期が数 ms の波形成分から構成されているのが分かる.波動の継続時間は,両梁とも V の増加に伴い徐々に長くなる傾向にある.これは,変位波形  $\delta$  と対応しており,衝突速度 V の増加に伴い RC 梁の塑性化が進行することを示唆している.変位波形  $\delta$  は,載荷時に正弦半波の波形を示し,その後減衰自由振動の状態を示している.また,LW6 梁の場合には,LW4 梁の場合より周期が長く示されていることより,損傷がより進行しているものと推察される.

#### 3.2 ひび割れ分布性状

図-3 には、実験終了後の LW4 梁お よび LW6 梁のひび割れ分布性状を衝突 速度毎に示している. せん断スパン比 の違いに着目すると、V=3 m/s 時には、 LW4 梁は載荷点部から支点部に向けて 進展するアーチ状のひび割れが形成され せん断破壊を呈していることが分かる. 一方, LW6 梁には, 前述したアーチ状 のひび割れは形成されず, スパン全域に 渡って曲げひび割れが進展している. V  $=3.5 \sim 4 \text{ m/s}$  において、LW6 梁の場合 は、V=3 m/s の場合と同様に曲げひび 割れが発生しているが同様に腹部にも 斜めひび割れが発生しており、このひび 割れが主鉄筋に沿った割裂ひび割れと なって支点まで進展し、せん断破壊して いることが分かる. いずれの場合もV=4 m/s 時に上縁コンクリートが剥落して



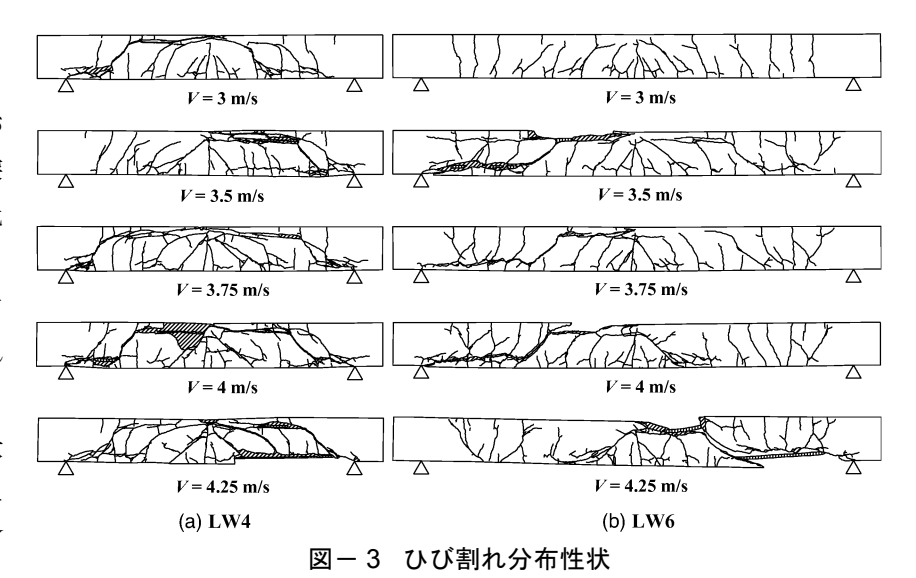


表-4 終局時における各種応答値一覧 (V = 3.75 m/s)

試験体名	入力 エネルギー	最大 重錘衝撃力	最大 支点反力	最大変位	残留変位	吸収 エネルギー	耐力比	エネルギー比
	$E_k$ (kJ)	$P_{ud}$ (kN)	R <sub>ud</sub> (kN)	$\delta_{max}$ (mm)	$\delta_{rd}$ (mm)	$E_a$ (kJ)	$R_{ud}$ / $P_{us}$	$E_a / E_k$
LW3		843.9	230.7	15.9	7.1	1.67	1.62	0.79
LW4		830.8	235.3	17.1	6.4	1.47	2.31	0.70
LW5	2.11	863.9	200.6	28.7	9.4	1.34	2.22	0.64
LW6		898.0	219.6	23.2	8.8	1.49	2.33	0.71

おり、V = 3.75 m/s 時点が終局であるものと推察される.

# 3.3 終局時における応答値の比較

表-4 には、各梁の終局時(V=3.75 m/s 時点)における各種応答値を一覧にして示している。ここで、ディープビーム的な挙動を示していると考えられる LW3 梁に関する結果を除いて、耐力比、エネルギー比を比較すると、せん断スパン比の大小によらず類似であり、平均値は 2.29、0.68 となることが分かる。

# 4. まとめ

- 1) 重錘衝撃力,支点反力波形は,せん断スパン比にかかわらず類似の分布性状を示す.
- 2) せん断スパン比が3の場合には、静・衝撃載荷時共にディープビーム的な挙動を示し、耐力が向上する傾向を示す.
- 3) せん断スパン比が  $4 \sim 6$  においては類似の耐衝撃性状を示し、終局時の耐力比およびエネルギー比はそれぞれ 2.30,0.70 前後の値となる.